

УДК 575.1:577.1

## АЛЛЕЛЬНЫЙ ПОЛИМОРФИЗМ ТЕТРАНУКЛЕОТИДНОГО ТАНДЕМНОГО ПОВТОРА SE33 СРЕДИ УДЭГЕЙЦЕВ И В ДВУХ ГОРОДСКИХ ПОПУЛЯЦИЯХ РОССИИ

© 1997 г. Р. И. Туракулов, Д. А. Чистяков, О. Н. Одинокова<sup>1</sup>,  
О. К. Галактионов<sup>2</sup>, В. В. Носиков

Государственный научный центр "ГосНИИ генетика", Москва, 113545

<sup>1</sup>Научно-исследовательский институт медицинской генетики Томского научного центра  
Российской академии медицинских наук, Томск, 634050

<sup>2</sup>Научно-исследовательский институт психического здоровья Томского научного центра  
Российской академии медицинских наук, Томск, 634014

Поступила в редакцию 07.05.97 г.

С использованием полимеразной цепной реакции проведен анализ аллельного полиморфизма тетрануклеотидного микросателлита SE33 (локус ACTBP2) среди удэгейцев и в выборках из городских популяций Москвы и Томска. Обнаружен 21 аллель размером от 246 до 326 п.н. Статистически достоверные различия в частотном распределении аллелей данного микросателлита между исследованными популяционными выборками отсутствуют. Распределение частот встречаемости генотипов подчинялось равновесию Харди-Вайнберга. На основе двух случаев семейного анализа показано менделевское наследование аллелей этого микросателлита. Высокие значения гетерозиготности (0.830–0.875 для разных исследованных выборок, информационного содержания полиморфизма (0.874–0.887) и индекса дискриминации (0.991–0.992) данного локуса позволяют использовать этот локус для идентификации личности и разрешения случаев спорного отцовства.

**Ключевые слова:** полимеразная цепная реакция (ПЦР), аллельный полиморфизм, популяции Москвы и Томска, удэгейцы, микросателлит SE33.

Высокополиморфные и высокоинформативные микросателлиты с числом аллелей более шести широко используют в качестве генетических маркеров в геномном картировании, изучении наследственных заболеваний и для идентификации личности [1, 2].

Идентификационные микросателлитные панели уже разработаны и используются в судебной медицине в США, Великобритании и Германии [3, 4]. Мы создаем аналогичную панель, включающую к данному моменту шесть микросателлитов, аллельный полиморфизм которых исследован в русской популяции [5–7]. Чтобы достичь точной идентификации в масштабах всего населения России, нужно иметь панель с объединенным значением вероятности случайного совпадения генотипов двух неродственных индивидов (probability of random match, pM)  $6.9 \times 10^{-7}$ . Для этого необходимо дополнить число входящих в нашу панель микросателлитов еще одним–двумя высокополиморфными локусами, к которым и относится тетрануклеотидный микросателлит SE33.

В интроне псевдогена  $\beta$ -актина (локус ACTBP2), расположенного на хромосоме 5qter, обнаружен микросателлит SE33 со множествен-

ными копиями тандемного повтора AAAG [8]. Всего известно около 20 псевдогенов  $\beta$ -актина, широко представленных в геноме [9, 10]. В исследованных популяциях европеоидов найдено максимум 26 аллелей данного микросателлита длиной от 222 до 322 п.н. [8, 11].

По числу аллелей и информативности этот микросателлит сравним с высокополиморфным (28 аллелей и субаллелей) минисателлитом MCT118 (локус D1S80) [12], который широко используют в геномной дактилоскопии. Поэтому было бы весьма полезным применять микросателлит SE33 для идентификационного анализа.

Цель данной работы – изучить аллельный полиморфизм микросателлита SE33 в выборках из различных популяций России (Москва, Томск, удэгейцы), чтобы оценить пригодность этого локуса для идентификационных исследований на российских популяциях.

### УСЛОВИЯ ЭКСПЕРИМЕНТА

ДНК-полимераза *Taq* получена от НПК "Биотех" (Москва). Синтез олигонуклеотидных праймеров выполнен фирмой "Эвиос-Рос" (Москва).

Геномную ДНК из венозной крови человека выделяли по методике, описанной ранее [13]. ДНК из пятен крови и слюны экстрагировали с использованием хелатного полимера Chelex®-100 ("Bio-Rad Laboratories") [14]. ДНК из корня волоса также выделяли с помощью Chelex®-100 после инкубации волоса в течение ночи при 60°C в 200 мкл буфера для лизиса (10 мМ Трис-НСl, рН 7.5, 0.32 М сахараза, 5 мМ хлорид магния, 1%-ный Тритон X-100) с протеиназой К (0.5 мг/мл).

Выборки из неродственных представителей популяций Москвы и Томска сформированы из образцов крови, взятой у здоровых доноров в травматологических пунктах и на станциях переливания крови. Образцы крови удэгейцев собраны в поселке Красный Яр Пожарского района Приморского края.

ПЦР проводили на амплификаторе РНС-2 ("Techne", Великобритания) в 60 мкл реакционной смеси следующего состава: 67 мМ Трис-НСl), рН 6.8, 16.6 мМ сульфат аммония, 0.01%-ный

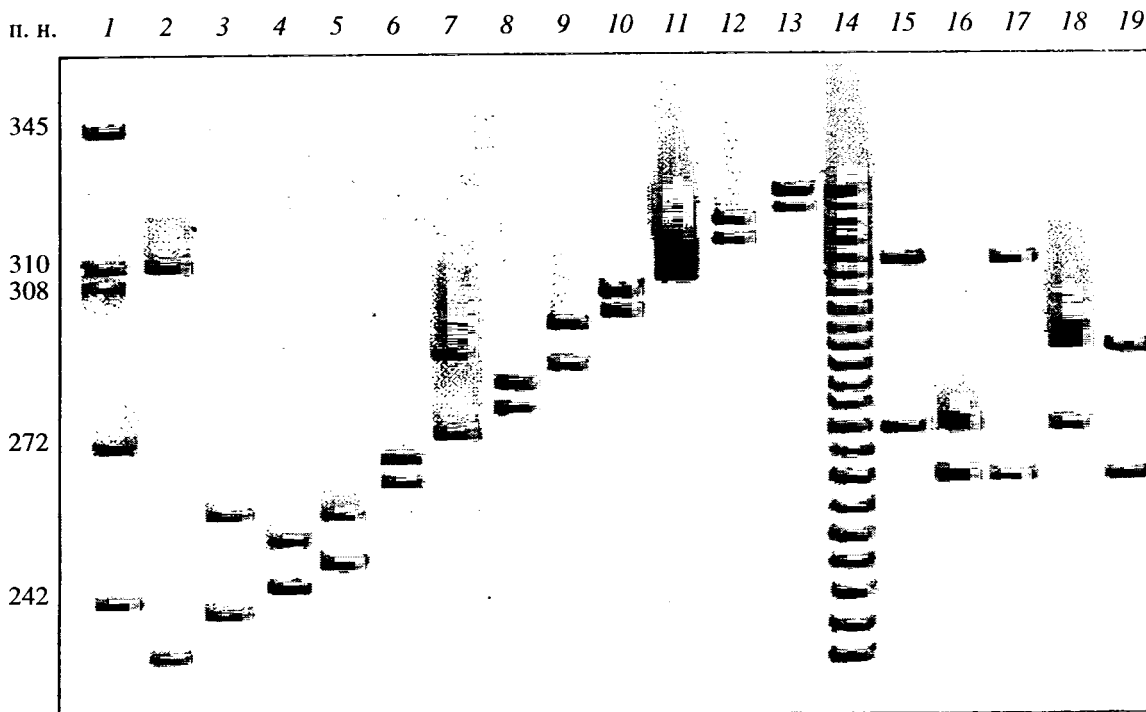
Твин-20, 1.0 мМ хлорид магния, 0.2 мМ каждого dNTP, 2 ед. полимеразы *Taq*, 0.1-0.2 мкг геномной ДНК, по 6 пикомолей каждого из олигонуклеотидных праймеров, последовательности которых приведены ранее [8]. 35 циклов ПЦР проводили по следующей программе: 94°C/1 мин, 60°C/1 мин, 72°C/1 мин, в том числе первая денатурация – 4 мин, последний синтез цепи – 7 мин.

Идентифицировали аллели в образцах ДНК с помощью аллельной "лестницы", синтезированной следующим образом: в реакционную смесь объемом 100 мкл, содержащую 10 пикомолей каждого из праймеров, вносили 1 мкл эквимольной смеси полного спектра аллелей после ее разведения в 10<sup>3</sup> раз.

Продукты амплификации анализировали с помощью электрофореза в 8%-ном полиакриламидном геле, содержащем 7%-ный глицерин, нанося в лунки геля по 10 мкл реакционной смеси. По окончании электрофореза гель окрашивали себром [15].

Таблица 1. Частоты встречаемости аллелей локуса АСТВР2 в русских популяциях Москвы, Томска и у удэгейцев

Аллель		Москвичи		Томичи		Удэгейцы	
число повторов	длина, п. н.	число наблюдений	частота встречаемости	число наблюдений	частота встречаемости	число наблюдений	частота встречаемости
15	238	0	0	0	0	1	0.006 ± 0.006
16	242	0	0	0	0	3	0.018 ± 0.010
17	246	5	0.023 ± 0.010	3	0.028 ± 0.016	4	0.027 ± 0.015
18	250	6	0.027 ± 0.011	7	0.066 ± 0.024	3	0.018 ± 0.010
19	254	17	0.077 ± 0.018	11	0.104 ± 0.030	9	0.055 ± 0.018
20	258	11	0.050 ± 0.015	11	0.104 ± 0.030	20	0.122 ± 0.026
21	262	7	0.032 ± 0.012	8	0.075 ± 0.026	14	0.085 ± 0.022
22	266	13	0.059 ± 0.016	7	0.066 ± 0.024	7	0.043 ± 0.016
23	270	11	0.050 ± 0.015	11	0.104 ± 0.030	14	0.085 ± 0.022
24	274	7	0.032 ± 0.012	4	0.038 ± 0.019	13	0.079 ± 0.021
25	278	6	0.027 ± 0.011	2	0.019 ± 0.013	10	0.061 ± 0.019
26	282	10	0.045 ± 0.014	2	0.019 ± 0.013	6	0.037 ± 0.015
27	286	14	0.064 ± 0.016	2	0.019 ± 0.013	6	0.037 ± 0.015
28	290	24	0.109 ± 0.021	0	0.000 ± 0.000	3	0.018 ± 0.010
29	294	15	0.068 ± 0.017	1	0.009 ± 0.009	7	0.061 ± 0.019
30	298	7	0.032 ± 0.012	3	0.028 ± 0.016	10	0.061 ± 0.019
31	302	12	0.055 ± 0.015	5	0.047 ± 0.021	7	0.043 ± 0.016
32	306	22	0.100 ± 0.020	13	0.123 ± 0.032	6	0.037 ± 0.015
33	310	19	0.086 ± 0.019	9	0.085 ± 0.027	11	0.067 ± 0.020
34	314	10	0.045 ± 0.014	4	0.038 ± 0.019	5	0.030 ± 0.013
35	318	3	0.014 ± 0.008	2	0.019 ± 0.013	2	0.012 ± 0.009
36	322	1	0.005 ± 0.005	1	0.009 ± 0.009	3	0.018 ± 0.010
Всего		220	1.000 ± 0.280	106	1.000 ± 0.383	164	1.000 ± 0.338



**Рис. 1.** Разделение в 8%-ном полиакриламидном геле амплифицированных аллелей локуса АСТВР2. 1 – фрагменты ДНК фага  $\lambda$ , расщепленной рестриктазой *Eco47I*; 2–13 – генотипирование 12 неродственных человек: 2 – 15/33, 3 – 16/20, 4 – 17/19, 5 – 18/20, 6 – 21/22, 7 – 23/27, 8 – 24/25, 9 – 26/28, 10 – 29/30, 11 – 31/32, 12 – 33/34, 13 – 35/36; 14 – аллельная “лестница”; 15–19 – семейный анализ, выявляющий следующие генотипы: 15 – 23/32 (отец), 16 – 21/23 (ребенок 1), 17 – 21/32 (ребенок 2), 18 – 23/27 (ребенок 3), 19 – 21/27 (мать).

Наблюдаемые частоты встречаемости генотипов исследованных локусов проверяли на отклонение от равновесия Харди-Вайнберга по критериям  $\chi^2$  и *G*-статистики с помощью компьютерной программы *R × C* (Rows × Columns) на основе алгоритма, описанного ранее [16]. Программу *R × C* также использовали для сравнения распределения аллельных частот в различных популяционных выборках.

Ожидаемую гетерозиготность ( $H_{exp}$ ) и следующие параметры информативности полиморфизма исследованных микросателлитов: среднюю вероятность исключения исследуемого образца по заданному генотипу (mean exclusion chance, *W*), *рМ* и информационное содержание полиморфизма (polymorphism information content, *РІС*) рассчитывали с помощью компьютерной программы на основе известных алгоритмов, приведенных нами ранее [17]. Индекс дискриминации (power of discrimination, *PD*) рассчитывали по формуле:  $PD = 1 - PM$  [18].

## РЕЗУЛЬТАТЫ И ОБСУЖДЕНИЕ

Мы провели анализ трех популяционных выборок, размер которых составил 110 (Москва), 53 (Томск) и 86 человек (удэгейцы). Обнаружено 22 аллеля микросателлита SE33 размером от 238

до 322 п.н. (рис. 1, табл. 1). В обеих городских популяциях найдено 20 аллелей длиной от 246 до 322 п.н. У удэгейцев найдены еще два аллеля размером 238 и 242 п.н. (табл. 1). Аллели локуса АСТВР2 нумеровали, исходя из числа содержащихся в них тетра nukлеотидных повторов. Так, наименьший по длине аллель размером 238 п.н. включал 15 повторов и получил порядковый номер 15 [11]. В московской популяции с частотой 0.1 и выше встречались аллели 28 и 32, у томичей наиболее распространенными оказались аллели 19 и 32 (частота встречаемости 11.3%), а среди удэгейцев – аллель 20 с частотой встречаемости 0.122 (табл. 1).

Из 210 возможных генотипов обнаружены 76 (Москва) и 48 (Томск). У москвичей наибольшей распространенностью обладали гетерозиготы 32/33 и гомозиготы 19/19 (частоты встречаемости 0.055 и 0.036 соответственно). В томской выборке с наибольшей частотой (3.8%) наблюдали пять генотипов. У удэгейцев из 253 возможных генотипов найдено 64, из них наиболее часто встречались (4.9%) гетерозиготы 20/21 и 21/23 (табл. 2).

Наблюдаемое распределение частот встречаемости генотипов локуса АСТВР2 во всех популяционных выборках соответствовало равновесию Харди-Вайнберга (значения вероятности 0.999–1.000, табл. 3). Это свидетельствовало об отсутствии

Таблица 2. Частоты встречаемости генотипов локуса АСТВР2 в русских популяциях Москвы, Томска и у удэгейцев

Гено-тип	Москвичи		Томичи		Удэгейцы		Гено-тип	Москвичи		Томичи		Удэгейцы	
	частота встре-чаемости	число наб-людений	частота встре-чаемости	число наб-людений	частота встре-чаемости	число наб-людений		частота встре-чаемости	число наб-людений	частота встре-чаемости	число наб-людений	частота встре-чаемости	число наб-людений
1	2	3	4	5	6	7	1	2	3	4	5	6	7
15-33	0	0	0	0	0.012	1	20-24	0	0	0	0	0.037	3
16-20	0	0	0	0	0.012	1	20-25	0.009	1	0	0	0.012	1
16-22	0	0	0	0	0.012	1	20-26	0	0	0	0	0.012	1
16-34	0	0	0	0	0.012	1	20-29	0.009	1	0	0	0.012	1
17-17	0	0	0.019	1	0	0	20-30	0	0	0	0	0.012	1
17-19	0	0	0.019	1	0	0	20-31	0	0	0	0	0.012	1
17-20	0.009	1	0	0	0	0	20-32	0.018	2	0.019	1	0	0
17-24	0.018	2	0	0	0	0	20-33	0	0	0.019	1	0.012	1
17-25	0	0	0	0	0.012	1	20-36	0	0	0	0	0.012	1
17-26	0.009	1	0	0	0	0	21-21	0.009	1	0.019	1	0.012	1
17-27	0	0	0	0	0.012	1	21-22	0.009	1	0.019	1	0.012	1
17-32	0	0	0	0	0.012	1	21-23	0.009	1	0	0	0.049	4
17-34	0.009	1	0	0	0	0	21-27	0.009	1	0	0	0	0
17-36	0	0	0	0	0.012	1	21-29	0	0	0	0	0.012	1
18-19	0.009	1	0	0	0	0	21-30	0	0	0	0	0.012	1
18-20	0.009	1	0.019	1	0.012	1	21-32	0	0	0.019	1	0	0
18-24	0	0	0	0	0.012	1	21-33	0.009	1	0	0	0.012	1
18-26	0	0	0.019	1	0	0	21-34	0.009	1	0	0	0	0
18-27	0.009	1	0	0	0	0	22-22	0.009	1	0	0	0	0
18-28	0.009	1	0	0	0	0	22-23	0.018	2	0	0	0.012	1
18-30	0	0	0	0	0.012	1	22-26	0.009	1	0	0	0	0
18-31	0.018	2	0.019	1	0	0	22-27	0.027	3	0	0	0	0
18-32	0	0	0.038	2	0	0	22-28	0.009	1	0	0	0	0
18-33	0	0	0.038	2	0	0	22-29	0.009	1	0	0	0	0
19-19	0.036	4	0.038	2	0	0	22-30	0	0	0	0	0.012	1
19-20	0.009	1	0.019	1	0.012	1	22-31	0	0	0.019	1	0.012	1
19-21	0	0	0.019	1	0	0	22-32	0.018	2	0.019	1	0	0
19-22	0	0	0.019	1	0	0	22-33	0	0	0.019	1	0.012	1
19-23	0.009	1	0.019	1	0	0	23-23	0	0	0.019	1	0.024	2
19-24	0	0	0	0	0.024	2	23-24	0.009	1	0	0	0	0
19-25	0	0	0.019	1	0.024	2	23-25	0	0	0	0	0.012	1
19-26	0	0	0.019	1	0.024	2	23-27	0.009	1	0.019	1	0	0
19-28	0.009	1	0.019	1	0	0	23-28	0.018	2	0	0	0	0
19-32	0.027	3	0	0	0	0	23-29	0.009	1	0.019	1	0.036	2
19-33	0.018	2	0	0	0.024	2	23-30	0	0	0	0	0.012	1
20-20	0.018	2	0.019	1	0.012	1	23-31	0	0	0	0	0.012	1
20-21	0	0	0.019	1	0.049	4	23-32	0.009	1	0	0	0	0
20-22	0	0	0.019	1	0.012	1	23-33	0.009	1	0.019	1	0	0

Таблица 2. (Окончание)

1	2	3	4	5	6	7	1	2	3	4	5	6	7
24-24	0	0	0	0	0.012	1	28-31	0.009	1	0	0	0	0
24-25	0	0	0.019	1	0.012	1	28-33	0.009	1	0.019	1	0	0
24-26	0	0	0	0	0.012	1	28-34	0.018	2	0	0	0	0
24-27	0	0	0	0	0.024	2	28-35	0.009	1	0	0	0	0
24-31	0.009	1	0.019	1	0	0	29-29	0	0	0.019	1	0.012	1
24-32	0.018	2	0.019	1	0.012	1	29-30	0.009	1	0	0	0	0
24-33	0.009	1	0	0	0	0	29-31	0.009	1	0	0	0	0
24-35	0	0	0.019	1	0	0	29-32	0	0	0.038	2	0	0
25-25	0	0	0	0	0.012	1	29-34	0.018	2	0	0	0	0
25-26	0.009	1	0	0	0	0	29-35	0.009	1	0	0	0	0
25-27	0.009	1	0	0	0.024	2	30-30	0	0	0	0	0.024	2
25-28	0.018	2	0	0	0	0	30-31	0.018	2	0	0	0	0
25-34	0.009	1	0	0	0	0	30-32	0.009	1	0.019	1	0	0
26-26	0	0	0	0	0.012	1	30-33	0.009	1	0	0	0	0
26-27	0.009	1	0	0	0	0	30-34	0	0	0	0	0.012	1
26-28	0.009	1	0	0	0	0	30-35	0.009	1	0	0	0	0
26-29	0.018	2	0	0	0	0	31-31	0.009	1	0	0	0	0
26-32	0.009	1	0	0	0	0	31-32	0.009	1	0.019	1	0.012	1
26-33	0	0	0	0	0	0	31-33	0.009	1	0	0	0.024	2
26-34	0.018	2	0	0	0	0	31-34	0	0	0.019	1	0.012	1
27-28	0.009	1	0.019	1	0	0	32-33	0.055	6	0.019	1	0.012	1
27-29	0.018	2	0.019	1	0	0	32-34	0	0	0.019	1	0	0
27-31	0.009	1	0	0	0	0	32-35	0	0	0	0	0.012	1
27-32	0.018	2	0	0	0	0	32-36	0.009	1	0	0	0.012	1
27-33	0	0	0	0	0.012	1	33-33	0.018	2	0	0	0	0
27-34	0	0	0.019	1	0	0	33-34	0.009	1	0	0	0	0
27-35	0	0	0	0	0	0	33-35	0	0	0	0	0.012	1
27-36	0	0	0	0	0	0	33-36	0	0	0	0	0	0
28-28	0.027	3	0.038	2	0.012	1	34-34	0	0	0	0	0.012	1
28-29	0.027	3	0.019	1	0.012	1	35-36	0	0	0.019	1	0	0
28-30	0.009	1	0	0	0	0							

внутренней гетерогенности в исследованных популяциях.

Экспериментальное распределение частот встречаемости аллелей микросателлита SE33 было весьма сходным в обеих городских популяциях, о чем свидетельствовали результаты анализа  $R \times C$  (рис. 2). Подобное сходство между популяциями Москвы и Томска мы наблюдали и для шести других ранее исследованных микросателлитов [5–7]. Близость характеров распределения аллелей в двух удаленных друг от друга городских популяциях России позволяет уверенно экстраполировать полученные нами данные о частотах встречаемости аллелей на всю русскую популяцию.

Мы также сравнили наши данные по распределению частот встречаемости аллелей локуса АСТВР2 с результатами аналогичных исследований зарубежных популяций. Максимальное число аллелей (26) данного локуса найдено у немецких европеоидов в результате типирования выборки из 180 человек [11]. В немецкой популяции с частотами выше 0.07 встречались аллели 16, 28 и 30. В обеих исследованных нами выборках из городских популяций не обнаружены низкомолекулярные аллели 11/16 длиной от 222 до 242 п.н., присутствовавшие у немцев [11]. У европеоидов США (выборка 39 человек) обнаружен 21 аллель с преобладанием аллелей 19 и 28-30, встречающихся с частотой выше 9% [8]. В сравнении с по-

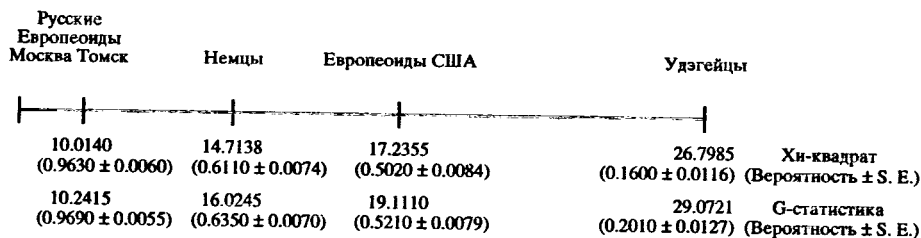


Рис. 2. Сравнительный анализ частотного распределения аллелей локуса ACTBP2 в московской популяции и в других популяционных выборках.

пуляциями Москвы и Томска у американцев европейского происхождения присутствовали аллели 13-16, не обнаруженные в первых двух популяциях. В то же время среди североамериканских европейцев отсутствовали высокомолекулярные аллели 34-36, найденные в обеих городских популяциях и у немцев [8, 11]. R × C-анализ не выявил каких-либо значимых различий в частотном распределении аллелей локуса ACTBP2 между популяциями Москвы и Томска и зарубежными европейцами (рис. 2).

Также отсутствуют достоверные различия в распределении аллелей этого локуса между исследованными нами городскими популяциями и удэгейцами, относящимися к монголоидной расе (рис. 2). Наблюдали статистически значимые различия в распределении аллелей других ранее исследованных нами микросателлитов (D6S366, D19S253, HUMCYAR04, HUMCD4, HUMF13A01) между популяциями, относящимися к разным расам (русские, монголоиды США, негры США) [5-7]. Отсутствие видимых межрасовых различий в данном случае можно объяснить значительным уровнем ассимиляции удэгейцев русскими и обменом генами между этими популяциями.

Менделевский характер наследования аллелей в локусе ACTBP2 показан в результате анализа представительных семей, включающих троих и четверых детей (рис. 1).

Как видно из данных нашего популяционного исследования (см. табл. 3), для минисателлита SE33 характерны высокие уровни аллельного полиморфизма (22 аллеля) и информативности (гетерозиготность 0.830-0.875 для разных исследованных выборок, PIC 0.874-0.887, PD 0.991-0.992). Большинство аллелей данного микросателлита достаточно широко представлено в исследованных популяциях; нет выраженного преобладания одного-двух аллелей, что характерно для таких мини- и микросателлитных локусов, как D1S80 [12, 15], APOB [19], RB1 [17, 20], HUMTH01 [2-4, 11], HUMOYAR04 [3, 17] и ряда других. Это придает однородность характеру распределения аллелей локуса ACTBP2 и увеличивает полезность данного локуса при идентификационном анализе.

Мы наблюдали успешную амплификацию аллелей микросателлита SE33 (на основе геномной ДНК из различных источников – слюна, корень волоса, пятна крови (данные не показаны), что является важным свидетельством пригодности этого микросателлита для идентификационных исследований.

Добавление локуса ACTBP2 к имеющейся панели из шести микросателлитов увеличивает ее разрешающую способность в 126 раз и доводит объединенное значение рМ тест-системы до  $6.62 \times 10^{-9}$ , что гарантирует точную идентификацию личности в популяции размером 161.2 млн. человек.

Таким образом, разработанная нами идентификационная панель из шести микросателлитных локусов позволяет провести точную идентификацию личности для всего населения России.

Таблица 3. Значения критериев полиморфизма, тестов  $\chi^2$  и G-статистики для проверки на соответствие закону Харди-Вайнберга для локуса ACTBP2 у удэгейцев и в городских популяциях Москвы и Томска

Параметры	Москвичи	Томичи	Удэгейцы
$H_{obs}$	0.873	0.830	0.854
$H_{exp}$	0.935	0.932	0.937
рМ	0.008	0.009	0.008
PD	0.992	0.991	0.992
W	1.411	1.458	1.447
PIC	0.887	0.874	0.885
$\chi^2$	90.1410	41.2095	70.1047
Вероятность (±S. E.)*	0.9990 (0.0010)	1.0000 (0)	0.9990 (0.0010)
G-статистика	120.7776	54.1729	94.2545
Вероятность (±S. E.)*	0.9990 (0.0010)	1.0000 (0)	0.9990 (0.0010)

\* Стандартная ошибка.

## СПИСОК ЛИТЕРАТУРЫ

1. Huang T. H.-M., Hejtmantik J.F, Edwards A., Pettigrew A.L, Herrera C.A., Hammond H.A., Caskey C.T. // *Am. J. Hum. Genet.* 1991. V. 49. P. 1312–1319.
2. Edwards A., Hammond H.A., Jin Li, Caskey C.T., Chakraborty R. // *Genomics.* 1992. V. 12. P. 241–253.
3. Hammond H.A., Jin Li, Caskey C.T., Chakraborty R. // *Am. J. Hum. Genet.* 1994. V. 55. P. 175–189.
4. Urquhart A., Oldroyd N.J., Kimpton G.P., Gill P. // *Bio-Techniques.* 1995. V. 18. P. 116–121.
5. Чистяков Д.А., Ефремов И.А., Одинокова О.И., Носиков В.В. // *Молекуляр. биология.* 1996. Т. 30. С. 1274–1283.
6. Чистяков Д.А., Челнокова М.В., Ефремов И.А., Ступакова М.В., Одинокова О.И., Носиков В.В. // *Генетика.* 1997. Т. 33. С. 262–268.
7. Туракулов Р.И., Чистяков Д.А., Одинокова О.И., Носиков В.В. // *Генетика.* 1997. Т. 33. С. 829–835.
8. Polymeropoulos M., Rath D., Xiao H., Merril C. // *Nucleic Acids Res.* 1992. V. 20. P. 1432.
9. Warne D., Watkins C., Bodfish P., Nyberg K., Spurr N. // *Nucleic Acids Res.* 1991. V. 19. P. 6980.
10. Ng S., Gunning P., Eddy R., Ponte P., Leavitt J., Kedes L., Shows L. // *Cell Genet.* 1985. V. 40. P. 712.
11. Weigand P., Budowle B., Rand S., Brinkmann B. // *Int. J. Leg. Med.* 1993. V. 106. P. 315–320.
12. Scowasch K., Wiegand P., Brinkmann B. // *Int. J. Leg. Med.* 1992. V. 105. P. 165–168.
13. Johns M.B., Paulus-Thomas J.E., // *Anal. Biochem.* 1989. V. 180. P. 276–278.
14. Walsh P., Metzger D., Higuchi R., // *BioTechniques.* 1991. V. 10. P. 506–513.
15. Budowle B., Chakraborty R., Giusti A.M., Eisenberg A.J., Allen R.C. // *Am. J. Hum. Genet.* 1991. V. 48. P. 137–144.
16. Roff D.A., Bentzen P. // *Mol. Biol. Evol.* 1989. V. 6. P. 539–545.
17. Ефремов И.А., Чистяков Д.А., Носиков В.В. // *Молекуляр. биология.* 1996. Т. 30. С. 307–318.
18. Sensabaugh C.F. // *Forensic Science Handbook / Ed. Saferstein R., Prentice-Hall Englewood Cliffs.,* 1982. P. 340–415.
19. Deka R., Chakraborty R., Ferrell R. // *Genomics.* 1991. V. 11. P. 83–92.
20. Scharf S.J., Bowcock A.M., McClure G., Klitz W., Yandell W., Elrich A.H. // *Am. J. Hum. Genet.* 1992. V. 50. P. 371–381.